

p-A 作用的非弹性度及对靶核质量的依赖

荆贵茹 王广君 丁林培 经才骝

(中国科学院高能物理研究所 北京 100039)

1993年10月14日收到

摘要

采用核碰撞几何和强子作用二分量模型,建立了 p-N 和 p-A 作用的 Monte-Carlo 产生器。用这个产生器,研究了 p-A 作用的非弹性度分布和平均非弹性度,以及它们对靶核质量的依赖关系。

关键词 强子-核作用, 非弹性度, 核碰撞几何, Monte-Carlo 产生器。

1 引言

p-A 作用的非弹性度,对了解强子-核作用的机制,是一个重要的物理量,对研究宇宙线在大气中的核级联过程,尤其具有重要的实用意义。宇宙线实验观察到的超高能级联的快速衰减,导致了对初级宇宙线成分和超高能作用碎裂区行为的热烈讨论。实际上,这种快速衰减现象对 p-A 作用的非弹性度有很大的依赖。至今,加速器对 p-A 作用非弹性度的测量并不够全面,例如,对领头粒子的 x 分布,在 $x < 0.3$ 和 $x > 0.9$ 范围内,仍缺乏测量数据。因此, p-A 作用的平均非弹性度以及对靶质量的依赖,仍然是一个不完全清楚的问题。

本工作将采用一种比较准确的核碰撞几何^[1]和核子-核子作用的二分量模型,采用独立核子作用图象,考虑弹丸核子在靶核内的多次碰撞,分别建立 p-N 作用和 p-A 作用的 Monte-Carlo 事例产生器。要求所得到的模拟结果与 CERN SPS 和 Fermilab 的动量为 $100\text{GeV}/c - 200\text{GeV}/c$ 的 p-p 和 p-A 作用提供的质子的 x 分布,次级粒子的速度分布和多重数分布要较好地符合,在此基础上,去推 p-A 作用领头粒子在 $(0,1)$ 整个区间的 x 分布,从而得出 p-A 作用非弹性度的分布、平均非弹性度以及它随着靶核质量的变化。

2 方法

假设 p-A 非弹性碰撞的物理图象为: p 随机地以某个瞄准参量入射到靶核 A 内,与

A 中一个以上的核子发生非弹性碰撞, 碰撞次数 ν 由碰撞几何决定。每次核子-核子碰撞用“单衍射-非单衍射”二分量模型处理, 弹丸核子在靶核内每碰撞一次损失份额能量(即 $p-N$ 作用的非弹性度), 此能量用于产生次级粒子。 $p-A$ 作用的非弹性度就是产生的次级粒子所具有的总的份额能量。作为第一步, 暂时忽略次级粒子在核内级联。显然, 这不会影响本文所要讨论的主题。

2.1 核碰撞几何

首先用 Monte-Carlo 方法产生一个核。采用修改的 Woods-Saxon 分布作为核子密度分布:

$$\rho(r) = \frac{\rho_0}{1 + \exp\left(\frac{r - R_0}{d - \delta}\right)}, \quad (1)$$

其中 r 是由一个核子到这个核的中心的距离, R_0 是核的电荷半径, d 是核的表面弥散度(单位为 fm), δ 是表面弥散度的修正量, R_0 , d 和 δ 的取值均见工作[1]。

然后让入射质子以随机的瞄准参量, 轰击这个核。每一次入射核子与靶核子发生非弹性碰撞的几率, 由一个重迭函数 $f(b)$ 决定, 其中 b 是弹丸核子对靶内核子的瞄准参量,

$f(b)$ 取程函(eikonal)分布形式:

$$f(b) = 1 - \exp(-Q(b)), \quad (2)$$

$$Q(b) = Q_0 \exp(-\beta b^2/b_0^2),$$

满足以下条件:

$$\sigma_{pN}^{\text{tot}} = 2 \int f(b) d^2b; \quad (3)$$

$$\sigma_{pN}^{\text{el}} = \int f(b) d^2b,$$

其中 σ_{pN}^{tot} 和 σ_{pN}^{el} 分别是质子-核子作用的总截面和弹性截面。当入射核子实验室系动量在 $50 \text{ GeV}/c$ - $200 \text{ GeV}/c$ 的范围内由(3)确定(2)中的参数, 得 $Q_0 = 1.4$, $\beta = 1.62$, $b_0 = 0.993 \text{ fm}$ 。

表 1 列出动量在 $50 \text{ GeV}/c$ - $200 \text{ GeV}/c$ 的范围内的 P 和 $C, N, Al, Ar, Cu, Ag, Xe, W$ 核内核子碰撞的平均次数 $\langle \nu \rangle$ 的计算结果。图 1 给出

图 1 p 与 C, Ar 和 Xe 核内核子碰撞次数 ν 的分布

● $p-C$, ■ $p-Ar$, ▲ $p-Xe$

p 与 C, Ar 和 Xe 核碰撞的碰撞次数分布。

表 1 在 $p-A$ 碰撞中, 用 Monte-Carlo 方法得到的 $p-N$ 碰撞的平均次数 $\langle \nu \rangle$

靶核	C	N	Al	Ar	Cu	Ag	Xe	W
$\langle \nu \rangle$	1.71	1.69	2.02	2.24	2.53	3.04	3.19	3.57

2.2 p-N 碰撞

质子与核子的非弹性碰撞,分为两个过程处理: 单衍射分解过程 (SD) 和非单衍射多重产生过程 (NSD)。

2.2.1 非单衍射过程

已知 p-N 非单衍射作用的次级粒子多重数服从负二项式分布, 平均带电粒子多重数 $\langle n_{ch} \rangle = 0.6 + 0.416 \ln S + 0.122 \ln^2 S$ 。工作[2]指出, 负二项式分布可由 Γ 分布与泊松分布卷积组成, 我们由 Γ 分布抽样得到一次作用的平均多重数, 然后由此平均值进行泊松分布抽样, 得到这次作用的多重数。

次级粒子的横动量 p_t 取 $P(p_t) \propto p_t e^{-2p_t/\langle p_t \rangle}$ 分布, $\langle p_t \rangle$ 是平均横动量。对 π^\pm , $\langle p_t \rangle$ 取为 $0.32 \text{GeV}/c$; 对 K 介子, $\langle p_t \rangle$ 取为 $0.42 \text{GeV}/c$; 对 p,n, $\langle p_t \rangle$ 取为 $0.45 \text{GeV}/c$ 。

次级粒子的快度取 $(-y_{\max}, y_{\max})$ 区间的均匀分布。

2.2.2 单衍射分解

单衍截面取 6.4mb 。衍射体系不变质量平方 M^2 的分布在 $1.21 \leq M^2 < 2(\text{GeV}/c^2)^2$ 区间取均匀分布, 在 $M^2 \geq 2(\text{GeV}/c^2)^2$ 区间取为 $1/M^2$ 分布。当 $M < 1.6 \text{GeV}/c^2$ 衍射体系将转变到二至三个末态粒子, 简单地按二体或三体衰变处理, 对 $M \geq 1.6 \text{GeV}/c^2$, 次级粒子多重数分布取为

$$P(n) = \frac{4}{\sqrt{2\pi n_0}} e^{-2(1-\frac{n}{n_0})^2}, \quad (4)$$

$$n_0 = 2M^{1/2}.$$

从这个分布取出多重数, 由纵向相空间分布决定每个粒子的快度, 横动量单独抽样。

3 结果和讨论

3.1 对 p-p 作用二分量模型的检验

采用上述 p-p 作用二分量模型的 Monte-Carlo 产生器, 模拟了 $100 \text{GeV}/c$ 的 pp 碰撞, 并与 Fermilab 的 SAS 实验^[3]进行了比较。图 2(a) 给出 $p + p \rightarrow p + X$ 的 $x \frac{d\sigma}{dx}$ 对 x 的依赖, 黑点为实验点, 实线为模拟结果, 两者在 $x = 0.4$ 处归一。在 $x > 0.9$ 区, 截面的上升是由于单衍射过程;如果不计入选衍射过程, 所得结果就会如图 2(b) 所示那样。

为了和 C. De. Marzo 等^[4]对 $200 \text{GeV}/c$ pp 作用的快度分布和多重数分布作比较, 也在相同动量下, 对 pp 作用的负粒子产生作了模拟计算。所得结果显示于图 4(a) 和图 5(a)。这些结果说明, 本文的 pp 作用二分量模型描写了 pp 非弹性作用的主要特征。

3.2 对 p-A 作用模型的检验

Fermilab 实验^[4]测量了 $100 \text{GeV}/c$ 的入射质子与 C、Al、Cu、Ag 和 Pb 靶碰撞下,

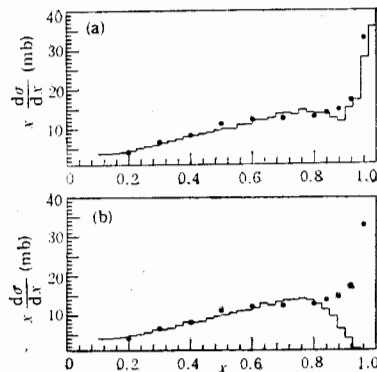


图 2 100GeV/c 的 $p + p \rightarrow p + X$ 的 $x \frac{d\sigma}{dx}$ 与 x 的关系

(a) 用二分量模型 (NSD + SD) 的模拟值与实验值比较, (b) 用 NSD 过程模拟值与实验比较。

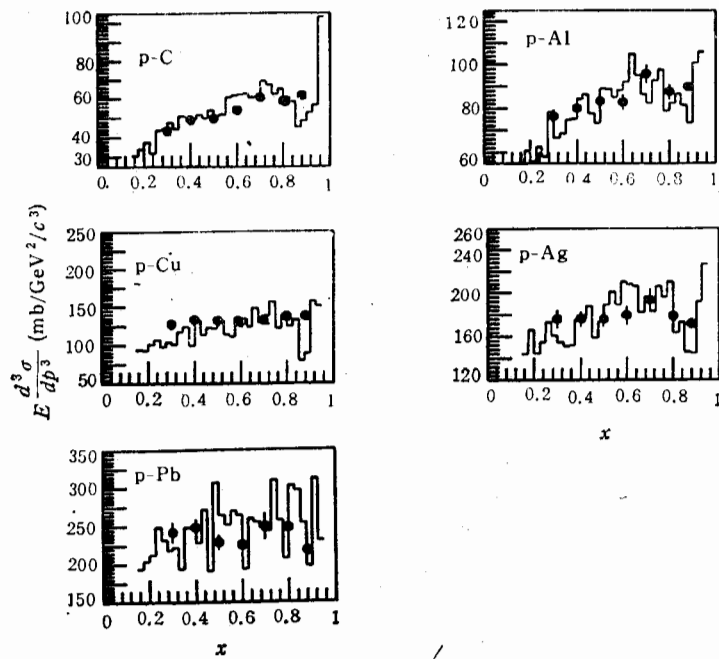


图 3 100GeV/c 的 p 和 C, Al, Cu, Ag, Pb 核碰撞, $p + A \rightarrow p + X$
($p_t = 0.3 \text{ GeV}/c$) 不变微分截面 $E \frac{d^3\sigma}{dp^3}$ 与 x 的关系

$p + A \rightarrow p + X$ 过程末态质子在 $p_t = 0.3 \text{ GeV}/c$ 时的 $E \frac{d^3\sigma}{dp^3}$ 对 x 的依赖关系 (见图

3 的黑点)。如本文引言中提到的在 $x < 0.3$ 和 $x > 0.9$ 没有实验测量值。采用本文的 $p-A$ 作用模型, 所得结果如图 3 实线所示。模拟结果与实验值在 $x = 0.4$ 处归一。在有实验测量值的区间内, 二者的符合还比较好。

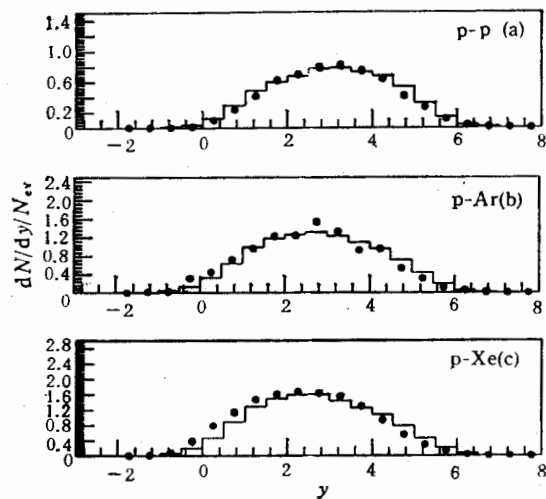


图 4 200GeV/c 的 p 与 p 及 Ar, Xe 核作用产生的负粒子的快度分布
黑点为实验值, 实线为模拟值

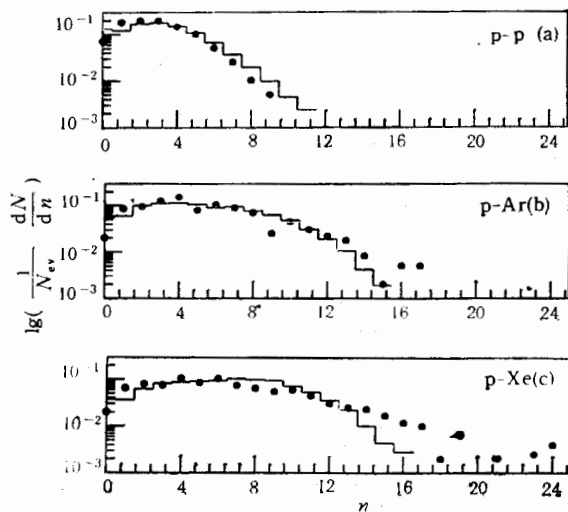


图 5 200GeV/c 的 p 与 p 及 Ar, Xe 核作用产生的负粒子的多重数分布
黑点为实验值, 实线为模拟值

对 200GeV/c $p\text{-A}$ 作用的快度分布和多重数分布, 以 $p\text{-Ar}$ 和 $p\text{-Xe}$ 为例子, 将模拟结果和实验结果^[5]表示在图 4(b,c) 和图 5(b,c)。在小 y 区和大 n 区间, 本工作所得结果稍低于实验值, 表明低能粒子数和高多重数事例的短少。这二者是互相联系的。这是由于忽略了次级粒子中有一部分能量较低者会在核内再次作用。如前面强调过的, 这不会影响对领头粒子的行为和非弹性度的讨论。

3.3 p-A 碰撞的非弹性度

在以上模拟结果与实验结果一致的基础上,用我们的 p-A 作用 Monte-Carlo 产生器,作出了 p-A 碰撞的平均非弹性度 $\langle K \rangle$ 及其在(0,1)区间的非弹性度的分布。在表 2 中列出了 P 和 C,Al,Cu,Ag,Pb 核碰撞的平均非弹性度。为了方便比较,同时列出 pp 碰撞的 $\langle K \rangle$ 。可以看到 $\langle K \rangle$ 随着靶的质量增加而增加,换言之靶核越重弹丸 P 用于多重产生的份额能量越大,领头粒子带有的能量越小。这种依赖关系可以用以下关系表示:

$$\langle K \rangle = 0.135 \lg A + 0.48. \quad (5)$$

在 P 和 P 及 C,Al,Cu,Ag,Pb 核碰撞中,领头粒子的 x 分布,即 $\frac{dN}{N_{ev} dx}$ 与 x 的关系,

显示在图 6 中。在这些图中, x 接近 1 的部分仍可看到一个小的 pA 作用衍射峰,但随着靶核质量数的增加而减弱。在 x 接近 0 的部分,领头粒子的 x 分布呈上升趋势,靶核愈重愈明显。这是入射质子在靶核内多次碰撞,不断损失能量的结果,靶核愈重,质子在靶核内碰撞次数愈多,这就是 pA 作用 $\langle K \rangle$ 随靶核质量数 A 上升的原因。

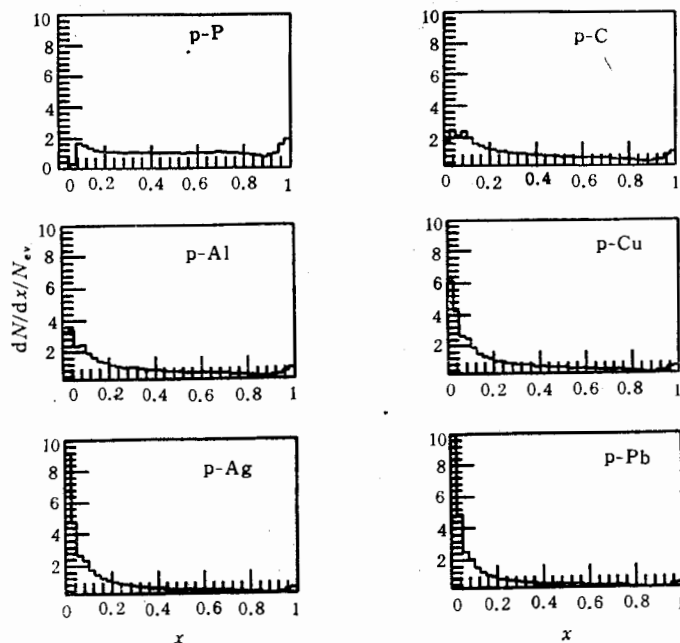


图 6 100GeV/c 的 p 与 p 及 C,Al,Cu,Ag,Pb 核碰撞领头粒子的 x 分布

表 2 动量为 100GeV/c 的 p 和 p 及 C,Al,Cu,Ag,Pb 核碰撞的平均非弹性度

靶核	P	C	Al	Cu	Ag	Pb
A	1	12	27	64	108	207
$\langle K \rangle$	0.48	0.62	0.66	0.71	0.76	0.79

作者衷心地感谢朱清棋教授有益的讨论和三室计算机组的全力支持。

参 考 文 献

- [1] 丁林恺,高能物理与核物理,14(1990)303.
- [2] He Yudong et al., *Europhys. Lett.*, 9(7) (1989) 645.
- [3] A.E. Brenner et al., *Phys. Rev.*, D 26 (1982) 1497.
- [4] D.S. Barton et al., *Phys. Rev.*, D 27 (1983) 2580.
- [5] C.D. Marzo et al., *Phys. Rev.*, D 26 (1982) 1019.

Inelasticity of p-A Interaction and Its Dependence on the Mass of Target

Jing Guiru Wang Guangjun Ding Linkai Jing Cailiu
(Institute of High Energy Physics, Academia Sinica, Beijing 100039)

Received on October 14, 1993

Abstract

Adopting a nuclear collision geometry and two-component model of hadron-hadron interaction, a Monte-Carlo generator on p-N and p-A interaction has been established. Using this generator, the inelasticity distribution, average inelasticity of p-A interaction and their dependence on the mass of target have been studied.

Key words hadron-nucleus interaction, inelasticity, nuclear collision geometry, Monte-Carlo generator.